

## ИССЛЕДОВАНИЕ КОНКУРЕНЦИИ МЕЖДУ ИСПУСКАНИЕМ ЗАПАЗДЫВАЮЩИХ ПРОТОНОВ И ГАММА-КВАНТОВ

Г.Д.Алхазов, Л.Х.Батист, А.А.Быков,  
В.Д.Витман, С.Ю.Орлов, В.К.Тарасов

На примере ядра  $^{147}\text{Dy}$  исследована конкуренция разрядки возбуждаемых в  $\beta^+$ ( $\&$ )-распаде состояний по протонному и  $\gamma$ -каналам. Экспериментальные данные противоречат предсказаниям статистической модели испускания запаздывающих частиц.

Испускание частиц из состояний, возбуждаемых  $\beta$ -переходами, является характерной особенностью ядер, удаленных от области стабильности <sup>1</sup>. Знание механизмов запаздывающих процессов необходимо для ядерной астрофизики и технологии ядерных реакторов, а также для интерпретации экспериментальных данных по распаду ядер. Вероятность эмиссии частиц и их спектр зависят как от вероятностей возбуждения уровней бета-переходами, так и от вероятностей распада этих состояний по различным каналам. При анализе экспериментальных данных и при теоретических расчетах вероятностей запаздывающих процессов считают, что протонные ширины  $\Gamma_p$  не коррелированы с  $\gamma$ -ширинами  $\Gamma_\gamma$  и с вероятностями  $\beta$ -переходов  $I_\beta$ <sup>1</sup>. К настоящему времени идентифицировано более ста излучателей запаздывающих нейтронов, протонов и  $\alpha$ -частиц, однако конкуренция между испусканием частиц и излучением  $\gamma$ -квантов у излучателей запаздывающих частиц экспериментально не исследовалась.

Для изучения механизма эмиссии запаздывающих частиц нами создана специальная установка, позволяющая измерять зависимость вероятностей  $\beta$ -распада по каналам ( $\beta\gamma$ ), ( $\beta p$ ) и ( $\beta\nu\gamma$ ) от энергии возбуждения. Для регистрации  $\gamma$ -излучения в ней используется кристалл NaI размером  $\Phi 200 \times 200$  мм с колодцем  $\Phi 40 \times 100$  мм, в котором размещен телескоп из полупроводниковых детекторов, регистрирующий заряженные частицы. Радиоактивные источники помещаются внутри колодца на расстоянии 3 мм от  $\Delta E$ -детектора. Телесный угол для регистрации протонов 20% от  $4\pi$ , а для  $\gamma$ -излучения – 98% от  $4\pi$ . Энергии каскадных  $\gamma$ -переходов суммируются в сцинтилляционном кристалле, поэтому амплитуды импульсов на выходе фотоумножителя определяются энергиями уровней, заселяемых  $\beta$ -переходами. Измерение спектров полного поглощения  $\gamma$ -лучей позволяет определять плотность вероятностей бета-переходов, а также дает возможность производить абсолютную калибровку активности источников и определять разность масс материнского и дочернего ядер. Спектрометр работает в линию с масс-сепаратором ИРИС, установленном на пучке протонов синхроциклотрона ЛИЯФ АН СССР. Подробное изложение методики дано в <sup>2, 3</sup>.

Для исследований мы выбрали распад ядра  $^{147}\text{Dy}$ . Применение новой методики позволило впервые измерить силовую функцию  $\beta$ -распада ( $S_\beta$ ) для излучателя запаздывающих про-

тонов и исследовать конкуренцию между  $(\beta\gamma)$  и  $(\beta p)$  – каналами распада как функцию энергий бета-переходов. Основное ( $I^\pi = 1/2^+$ ) и изомерное ( $I^\pi = 11/2^-$ ) состояния  $^{147}\text{Dy}$  имеют близкие периоды полураспада – 47(5) с и 55,7(5) с соответственно, что затрудняет разделение спектров, относящихся к распадам этих состояний. Однако относительно малое сечение образования  $^{147}\text{Dy}$  в основном состоянии ( $\sigma_m / \sigma_g \approx 4,5$ ) и большая интенсивность изомерного перехода (31% на распад) позволили по характерной кривой "распада – накопления" разделить эти спектры и определить  $S_\beta$  для обоих состояний. Экспериментальные результаты представлены на рис. 1.

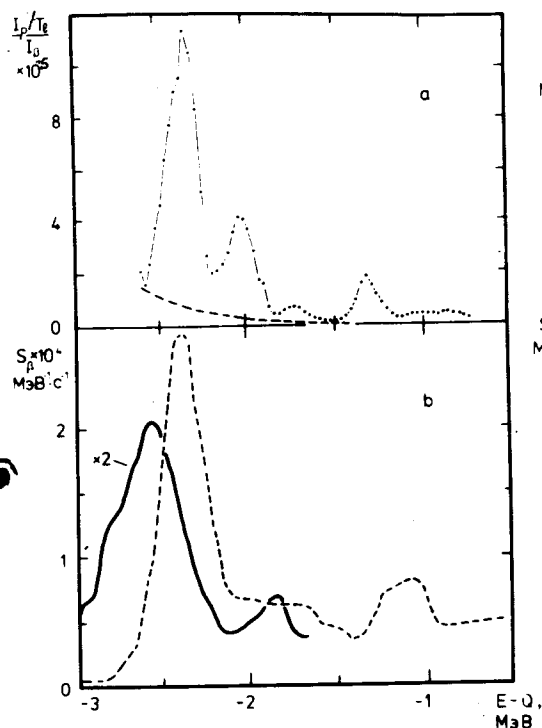


Рис. 1

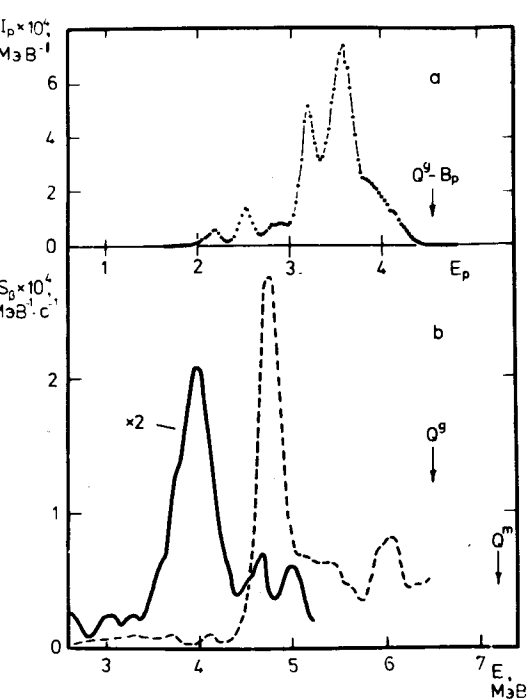


Рис. 2

Рис. 1. а – Спектр запаздывающих протонов  $^{147}\text{Dy}$ ; б – силовые функции  $\beta$ -распада  $^{147g}\text{Dy}$  и  $^{147m}\text{Dy}$  (пунктир)

Рис. 2. а – Сравнение экспериментальной энергетической зависимости величины  $I_p/I_\beta T_1$  с рассчитанной по статистической модели (пунктир); б – силовые функции  $\beta$ -распада  $^{147g}\text{Dy}$  и  $^{147m}\text{Dy}$  (пунктир)

Имевшиеся ранее экспериментальные данные позволяли сравнивать силовые функции лишь для различных изотопов<sup>2</sup>. Полученные нами результаты дают возможность сопоставить  $S_\beta$  для распада основного и изомерного состояний одного и того же ядра. На рис. 1 энергии отсчитаны от основного состояния дочернего ядра  $^{147}\text{Tb}$ . При этом максимум  $S_\beta$  для распада основного состояния соответствует энергии 3,95 МэВ, а для распада изомера – 4,85 МэВ. На рис. 2 энергии отсчитаны от соответствующих материнских состояний, и энергии резонансов в  $S_\beta^g$  и  $S_\beta^m$  различаются только на  $\sim 0,15$  МэВ. Близость этих энергий означает, что резонансы в  $S_\beta$  обусловлены коллективными зарядово-обменными возбуждениями материнских ядер, а роль одночастичных эффектов относительно мала.

Спектр запаздывающих протонов для распада  $^{147}\text{Dy}$  изображен на рис. 1, а. Он соответствует распаду  $^{147}\text{Dy}$ , поскольку по нашим данным вероятность испускания запаздывающих протонов при распаде основного состояния  $^{147}\text{Dy}$  значительно больше, чем при распаде изомера:  $B_p^g = 4,5(20) \cdot 10^{-4}$ ,  $B_p^m < 10^{-5}$ . Только в области энергий  $E_p = 2,7 - 3,0$  МэВ в

спектре возможна примесь от распада  $^{147m}\text{Dy}$ . Измерение спектра протонов в режиме  $(p\gamma)$  совпадений показало, что вероятность протонных переходов на возбужденные состояния  $^{146}\text{Gd}$  пренебрежимо мала, поэтому интенсивности протонных переходов связаны с интенсивностями  $\beta$ -переходов соотношением ( $\Gamma_p \ll \Gamma_\gamma$ ):

$$I_p(E_p) = I_\beta(E) \frac{\Gamma_p(E_p)}{\Gamma_\gamma(E)} ; \quad E_p = (E - B_p) \frac{A - 1}{A} . \quad (1)$$

Тогда в рамках стандартного статистического подхода для отношения вероятностей  $\beta$ -распада по каналам  $(\beta p)$  и  $(\beta\gamma)$ , усредненных по энергетическому интервалу  $\Delta E$ , имеем:

$$\frac{\langle I_p(E_p) \rangle / T_{ej}}{\langle I_\beta(E) \rangle} = \frac{1}{6\pi(2j_0 + 1)\rho_0(E)\langle \Gamma_\gamma \rangle} , \quad (2)$$

где  $j_0$  — спин материнского ядра,  $T_{ej}$  — коэффициенты трансмиссии, определяющие вероятность прохождения протонов через потенциальный барьер,  $\rho_j = (2j + 1)\rho_0$  — плотность уровней. Интервал усреднения  $\Delta E$  определяется энергетическим разрешением и равен  $0,19 - 0,22$  МэВ как для протонного, так и для  $\gamma$ -каналов спектрометра. Значение левой части выражения (2) может быть получено из наших экспериментальных данных. Результат изображен на рис. 2, а сплошной линией. Правую часть выражения (2), изображенную на том же рисунке пунктиром, мы вычислили, используя данные <sup>4</sup>, где из статистического анализа спектра запаздывающих протонов  $^{147}\text{Dy}$ , измеренного с энергетическим разрешением  $\sim 8$  кэВ, определялась плотность уровней  $^{147}\text{Tb}$ , а также предложенную в <sup>5</sup> параметризацию экспериментальных данных по  $\Gamma_\gamma$ . Как видно из рисунка, наблюдается очень сильное расхождение эксперимента со статистической моделью. Кривая, полученная из отношения экспериментальных интенсивностей идет существенно выше расчетной кривой и имеет ряд четких максимумов, наиболее интенсивный из которых находится в области резонанса в  $S_\beta$ , что позволяет говорить о наличии положительной корреляции между величинами  $\Gamma_p$  и  $S_\beta$ . Существенно, что эти максимумы находятся практически на равных расстояниях друг от друга и не могут быть объяснены статистическими флуктуациями.

Полученные результаты показывают, что испускание запаздывающих частиц является нестатистическим процессом. Представляется важным проведение систематических исследований излучателей запаздывающих частиц и построение теории, учитывающей нестатистический характер механизмов как возбуждения уровней  $\beta$ -переходами, так и распада этих состояний по различным каналам.

#### Литература

1. Карнаухов В.А., Петров Л.А. Ядра, удаленные от линии бета-стабильности. Энергоиздат, М., 1981, с. 200.
2. Алхазов Г.Д. и др. ЯФ, 1985, 42, 1313.
3. Алхазов Г.Д. и др. Препринт ЛИЯФ №984, Л., 1984, с. 16; Алхазов Г.Д. и др. Препринт ЛИЯФ №1222, Л., 1986, с. 29.
4. Schardt D. et al. Proc. 7-th Int. Conf. on At. Masses and Fund. Constants, AMCO-7, Darmstadt, 1984, p. 229.
5. Малецки Х. и др. ЯФ, 1983, 37, 284.